

01; 09

© 1990 г.

## ВОЗБУЖДЕНИЕ СПИНОВЫХ ВОЛН АНТЕННАМИ СЛОЖНОГО ПОПЕРЕЧНОГО СЕЧЕНИЯ

*B. F. Дмитриев*

Построена самосогласованная теория возбуждения спиновых волн антенной сложного поперечного сечения. Сформулировано и решено сингулярное интегральное уравнение для плотности поверхностного тока в антенне. В безобменном приближении рассчитан комплексный импеданс антенны и переменная намагниченность, возбуждаемая в ферромагнитной пленке, намагниченной до насыщения однородным постоянным магнитным полем.

В качестве примера использования предложенной теории выполнен расчет амплитудно-частотной характеристики спин-волнового фильтра с геометрией электродов антенны, близкой к оптимальной.

### Введение

Практически все теоретические работы по возбуждению спиновых волн выполнены для планарных микрополосковых антенн [1-5]. Достоинством планарных микрополосковых антенн является их технологичность и простота конструкции. Существо же основного недостатка состоит в следующем. Частотная характеристика селективного спин-волнового устройства, например фильтра, определяется главным образом соответствующим выбором микрополосковой антенной системы. Выбором геометрии антенны фактически задается пространственное распределение поверхностного тока. Получить близкое к необходимому распределение поверхностного тока в антенне можно аподизацией и «взвешиванием» [4] отдельных элементов антенны. Вместе с тем распределение поверхностного тока в антенной системе описывается интегральным уравнением [6], и управлять распределением поверхностного тока в отдельном элементе антенной системы не представляется возможным. Эта особенность планарных полосковых антенн существенно ухудшает параметры спин-волновых устройств, в частности коэффициент прямоугольности и уровень боковых лепестков. В связи с этим представляют интерес антенны, имеющие дополнительный фактор управления частотной характеристикой, которым можно было бы компенсировать не устраивающее нас распределение тока как в пределах отдельного полоска, так и в пределах нескольких полосков или даже во всей антенной системе. Такой антенной является антenna с плавно изменяющимся зазором между поверхностью антенны и волноведущей средой — антenna с криволинейным профилем поперечного сечения.

Целью статьи является построение теории возбуждения спиновых волн антеннами сложного поперечного сечения.

### Возбуждение волн намагниченности

Будем рассматривать возбуждение спиновых волн полем антенной системы (рис. 1), состоящей из  $N$  проводов, параллельных оси  $\zeta$ , со сверхвысокочастотным поверхностным током  $J^*(\xi, \zeta) = (I_n/l_n) j(\zeta) \delta[f(\zeta) - \xi]$ , где  $I_n$  — полный ток на входе  $n$ -го элемента антенной системы;  $l_n$  — его периметр;  $f(\zeta)$  — функция, описывающая расстояние между поверхностным током и поверхностью ферромагнитной пленки;  $\delta[f(\zeta) - \xi]$  — дельта функция Дирака. Пусть поперечное сечение проводов имеет произвольную форму. Для удобства расчета будем ис-

использовать две системы координат. Одна из них  $xyz$  связана с направлением постоянного намагничивания  $\mathbf{H}$ , другая  $\xi\zeta$  — с осью антенной системы. Переход от системы координат  $hyz$  к системе координат  $\xi\zeta$  будем задавать матрицей поворота  $\hat{U}_{\varphi, \theta}$ , причем угол  $\theta$  образован осью  $z$  ( $\mathbf{H}$ ) и проекцией  $\mathbf{H}$  на плоскость  $\eta\zeta$ , а угол  $\varphi$  — проекцией  $\mathbf{H}$  на плоскость  $\eta\zeta$  и направлением распространения спиральной волны (ось  $\zeta$ ).

Задача установления связи между амплитудой возбуждаемой волны намагниченности и видом возбуждающего источника магнитного поля была решена в работах [6, 7] на основе совместного интегрирования уравнений Максвелла и уравнения движения намагниченности Ландау-Лифшица. Здесь мы воспользуемся их результатами. Однако в целях упрощения используемых соотношений анализ будем проводить для волны основного типа в свободной (не экранированной) ферромагнитной пленке и в безобменном приближении. Вместе с тем используемый метод расчета позволяет достаточно просто учесть влияние как металлических экранов, так и обменного взаимодействия на эффективность возбуждения волн намагниченности.

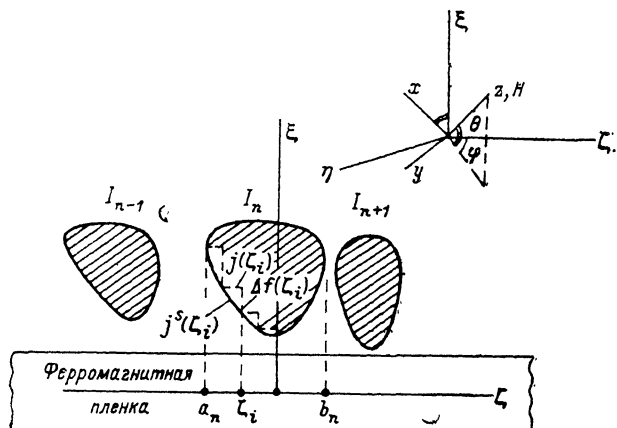


Рис. 1. Профиль исследуемой антенной системы.

Выражение для переменной намагниченности, описывающее отклик спин-системы ферромагнитной пленки на пространственно неоднородное переменное магнитное поле  $\mathbf{h}^s(\xi, \zeta)$ , полученное в [7], имеет вид

$$\mathbf{m}(\xi, \zeta) = \frac{\Phi(\xi)}{\pi} \int_{-\infty}^{\infty} \mathbf{h}_k^{op}(k) \frac{\hat{G}_h(k)}{\omega^2(k) - \omega^2} e^{-ik\xi} dk, \quad (1)$$

где  $\Phi(\xi)$  — функция, описывающая распределение переменной намагниченности по толщине пленки [7];  $k$  — волновое число спиновой волны;  $\omega(k)$  — спектр спиновых волн [7];  $\omega$  — частота возбуждения.

Усредненная по толщине пленки фурье-компоненты стороннего возбуждающего поля  $\mathbf{h}_k^{op}(k)$  определена следующим образом:

$$\mathbf{h}_k^{op}(k) = \frac{1}{L} \int_{-L/2}^{L/2} \int_{-\infty}^{\infty} \Phi(\xi) \mathbf{h}^s(\xi, \zeta) e^{ik\xi} d\xi d\zeta, \quad (2)$$

где  $\mathbf{h}^s(\xi, \zeta)$  — стороннее возбуждающее поле,  $L$  — толщина пленки.

Тензор  $\hat{G}_h(k)$  в системе координат  $xyz$  имеет компоненты

$$\begin{aligned} G_h^{xx} &= \omega_M (\omega_H + \omega_M P \sin^2 \varphi), \\ G_h^{yy} &= \omega_M \{ \omega_H + \omega_M [(1 - P) \cos^2 \varphi + P \sin^2 \theta \cos^2 \varphi] \}, \\ G_h^{xy} &= (G_h^{yx})^* = i \omega_M (\omega + i \omega_M P \cos \varphi \sin \varphi \cdot \sin \theta), \end{aligned}$$

где  $P = 1 - [1 - \exp(-kL)]/kL$ ,  $\omega_H = \gamma H$ ,  $\omega_M = \gamma M_0$ ,  $\gamma$  — гиromагнитное отношение,  $M_0$  — равновесная намагниченность.

Перевод тензора  $\hat{G}_h(k)$  из системы координат  $xyz$  в систему координат  $\xi\eta\zeta$ , используемую далее, выполняется с помощью матрицы поворота  $\hat{U}_{\varphi, \theta}$

$$\hat{G}_h^{(\xi\eta\zeta)}(k) = \hat{U}_{\varphi, \theta} \hat{G}_h^{(xyz)}(k) \hat{U}_{\varphi, \theta}^{-1}. \quad (3)$$

Выражение (1) можно использовать для вычисления переменной намагниченности, возбуждаемой любым источником переменного магнитного поля, если известна его фурье-компоненты. Определим фурье-компоненту магнитного поля антенной системы (рис. 1). Для этого заменим непрерывное в пределах каждого электрода распределение поверхностного тока  $J^s(\xi, \zeta)$  ступенчатым с длиной ступени  $\Delta\zeta_n$ . Полагая  $\Delta\zeta_n$  достаточно малым, таким, что на  $i$ -й ступени  $j(\zeta_i) \approx j(\zeta_i), j^s(\zeta) \approx j^s(\zeta_i)$ , и используя равенство полных токов, протекающих на электроде в пределах ступени и на самой ступени, определим плотность тока на  $i$ -й ступени

$$j(\zeta_i) = \frac{I_n}{l_n} j^s(\zeta_i) \sqrt{1 + \left[ \frac{\Delta f(\zeta_i)}{\Delta\zeta_n} \right]^2}, \quad (4)$$

где  $\Delta f(\zeta_i)$  — высота  $i$ -й ступени.

Таким образом, исходная система электродов с поверхностным током  $J^s(\xi, \zeta)$  моделируется ступенчатым распределением поверхностного тока. Поле, создаваемое поверхностным током, протекающим по  $i$ -й ступени, есть поле полосы тока [8]. С учетом (4) оно равно

$$h_{in}^{(\xi)}(\xi, \zeta) = \frac{1}{4\pi} \Delta\zeta_{0n} j(\zeta_{0i}) \sqrt{1 + \left[ \frac{\Delta f(\zeta_{0i})}{\Delta\zeta_{0n}} \right]^2} \times \\ \times \int_{-\infty}^{\infty} \left\{ \pm \frac{ik}{\sqrt{k^2 - k_0^2}} \right\} \frac{\exp \{ \pm \sqrt{k^2 - k_0^2} [\xi - f(\zeta_{0i})] + ik(\zeta - \zeta_{0i}) \}}{\sqrt{k^2 - k_0^2}} dk, \quad (5)$$

где  $k_0 = \omega \sqrt{\varepsilon_0 \mu_0}$ ,  $\varepsilon_0$ ,  $\mu_0$  — диэлектрическая и магнитная проницаемости вакуума. Знаки « $\pm$ » выбираются из условия регулярности  $h^s(\xi, \zeta)$  при  $\xi \rightarrow \pm\infty$ .

Представляя полное поле антенной системы как суперпозицию полей отдельных ступенек с током и переходя к пределу ( $\Delta\zeta_n \rightarrow 0$ ), получим

$$h_{\zeta}^{(\xi)}(\xi, \zeta) = \frac{1}{4\pi} \sum_{n=1}^N \lim_{\Delta\zeta_n \rightarrow 0} \sum_{i=1}^{M_n} \Delta\zeta_{0n} j(\zeta_{0i}) \sqrt{1 + \left[ \frac{\Delta f(\zeta_{0i})}{\Delta\zeta_{0n}} \right]^2} \times \\ \times \int_{-\infty}^{\infty} \left\{ \pm \frac{ik}{\sqrt{k^2 - k_0^2}} \right\} \frac{\exp \{ \pm \sqrt{k^2 - k_0^2} [\xi - f(\zeta_{0i})] + ik(\zeta - \zeta_{0i}) \}}{\sqrt{k^2 - k_0^2}} dk, \quad (6)$$

где  $M_n = (b_n - a_n)/\Delta\zeta_n$ .

Для расчета переменной намагниченности (1) необходимо вычислить усредненную по толщине пленки фурье-компоненту поля (6). Вычисляя предел, подставляя (6) в (2) и переходя к магнитостатическому приближению, получим

$$h_k^{cp}(\xi)(k) = \frac{1}{2\sqrt{2\pi}} \left\{ \frac{ik}{|k|} \right\} \frac{F(|k|)}{|k|} \int_{\mathcal{L}} \mathcal{J}(\zeta_0) e^{ik\zeta_0 - |k|f(\zeta_0)} d\zeta_0, \quad (7)$$

где

$$F(|k|) = \frac{1 - \exp[-|k|L]}{|k|L},$$

$$\mathcal{J}(\zeta_0) = j(\zeta_0) \sqrt{1 + \left[ \frac{df(\zeta_0)}{d\zeta_0} \right]^2},$$

контур  $\mathcal{L}$  образован отрезками  $[a_n, b_n]$  (рис. 1), где  $n=1, 2, 3, \dots, N$ .

При выводе (7) мы учли, что под антенной  $\xi < f(\zeta)$  и из условия регулярности  $h^*$  перед корнем в (6) выбран знак «+». Окончательно подставляя (7) в (1), для переменной намагнченности получим

$$m(\xi, \zeta) = \frac{\Phi(\xi)}{2\pi} \times \int_{-\infty}^{\infty} \int_{\mathcal{L}} J(\zeta_0) \frac{\hat{G}_h(k) F(|k|)}{\omega^2(k) - \omega^2} \exp\{-|k|f(\zeta_0) + ik(\zeta_0 - \zeta)\} d\zeta_0 dk, \quad (8)$$

где  $\times = i \operatorname{sign}(k) e_\xi + e_\zeta$ .

Для вычисления несобственного интеграла в (8) воспользуемся методами контурного интегрирования в комплексной плоскости. Значения интеграла в (8) определяют полюса подынтегральной функции. Отметим, что, помимо полюсов при действительных значениях  $k$ , в (8) могут существовать полюса и при комплексных значениях  $k_k = \pm k_0 + ix_t$ , где  $t$  — номер полюса и  $x_0=0, t=0, \pm 1, \pm 2, \pm 3, \dots$ . Конкретные значения  $x_t$  определяются корнями дисперсионного уравнения  $\omega^2(k_k) = \omega^2$ .

Переходя на плоскость комплексных значений  $k \rightarrow k_k = k + ik''$ , в соответствии с леммой Жордана для  $\operatorname{Re}[k_k] > 0$  и  $\zeta_0 - \zeta > 0$  замыкаем контур интегрирования в первой четверти, а для  $\zeta_0 - \zeta < 0$  — в четвертой четверти комплексной плоскости по части полуокружности бесконечно большого радиуса, обходя при этом полюс на действительной оси сверху. В случае  $\operatorname{Re}[k_k] < 0$  для  $\zeta_0 - \zeta > 0$  замыкаем контур интегрирования во второй четверти, а при  $\zeta_0 - \zeta < 0$  — в третьей четверти комплексной плоскости, обходя полюс на действительной оси снизу. Все вычисления для случая  $\operatorname{Re}[k_k] < 0$  аналогичны вычислениям при  $\operatorname{Re}[k_k] > 0$ , причем интегрирование при  $\operatorname{Re}[k_k] > 0$  дает вклад в намагнченность  $m^+(\xi, \zeta)$ , обусловленную волнами, распространяющимися в положительном направлении оси  $\zeta$ , а интегрирование при  $\operatorname{Re}[k_k] < 0$  дает вклад в намагнченность  $m^-(\xi, \zeta)$ , обусловленную волнами, распространяющимися в направлении  $-\zeta$ . Суммарная намагнченность определяется как

$$m(\xi, \zeta) = m^+(\xi, \zeta) + m^-(\xi, \zeta). \quad (9)$$

Вычисляя (8) с помощью теории вычетов [9] при  $\operatorname{Re}[k_k] > 0$ , получим

$$\begin{aligned} m^+(\xi, \zeta) = \frac{i}{2} \Phi(\xi) \times \\ \times \left\{ \frac{\hat{G}_h(k)}{\omega V_g} \sum_{i=1}^{\infty} F(|k| + ix_t) \int_{\mathcal{L}_1} J(\zeta_0) \exp\{i(k + ix_t)[(\zeta_0 - \zeta) + if(\zeta_0)]\} d\zeta_0 - \right. \\ - \frac{\hat{G}_h(k)}{\omega V_g} \sum_{i=0}^{\infty} F(|k| - ix_t) \int_{\mathcal{L}_2} J(\zeta_0) \exp\{i(k - ix_t)[(\zeta_0 - \zeta) + if(\zeta_0)]\} d\zeta_0 + \\ + \frac{1}{\pi} \int_0^{\infty} \int_{\mathcal{L}_3} J(\zeta) \frac{\hat{G}_h(ik) F(ik)}{\omega^2(ik) - \omega^2} \exp\{-k[if(\zeta_0) + (\zeta_0 - \zeta)]\} d\zeta_0 dk - \\ \left. - \frac{1}{\pi} \int_{-\infty}^0 \int_{\mathcal{L}_4} J(\zeta) \frac{\hat{G}_h(ik) F(ik)}{\omega^2(ik) - \omega^2} \exp\{-k[if(\zeta_0) + (\zeta_0 - \zeta)]\} d\zeta_0 dk \right\}, \quad (10) \end{aligned}$$

где  $\mathcal{L}_2 \in [\zeta, b_n], \dots, [a_M, b_N]$ ;  $\mathcal{L}_1 \in [a_1, b_1], \dots, [a_n, \zeta]$ ;  $V_g = (\partial\omega(k))/(\partial k)$  — групповая скорость спиновых волн.

Интегрирование при  $\operatorname{Re}[k_k] < 0$  эквивалентно интегрированию при  $\operatorname{Re}[k_k] > 0$  и  $\phi = \phi + 180^\circ$ . Иными словами, для определения  $m^-$  достаточно, вычислив  $m$ , положить  $\phi = \phi + 180^\circ$ . В случае асимметричного спектра (например, при наличии металлических экранов), вычисляя  $m^-$ , необходимо учитывать, что полюса подынтегральной функции будут при значениях  $k'_k = -k_0' + ix'_t$ , причем  $k'_k \neq k_0$  и  $x'_t \neq x_t$ . Все интегралы в (10) вычисляются обычными численными методами и при необходимости можно рассчитать намагнченность как в не-

посредственной близости от антенны (в «ближней зоне»), так и в области бегущей волны (в «зоне излучения»). Магнитное поле, создаваемое волной намагниченностю, имеет простую связь с  $m$  [7]

$$h(\xi, \zeta) = \int_{-L/2}^{L/2} \tilde{G}_m(\xi, \xi') m(\xi', \zeta) d\xi', \quad (11)$$

где для  $\xi > L/2$  (над поверхностью пленки) компоненты тензора  $\tilde{G}_m(\xi, \xi')$  имеют вид

$$G_m^{\xi\xi} = -i G_m^{\xi\zeta} = -i G_m^{\zeta\xi} = -G_m^{\zeta\zeta} = \exp[-k(\xi - \xi')].$$

Отметим, что поле бегущей волны (поле в «зоне излучения») определяет первый член ( $t=0$ ) во второй сумме. Все прочие слагаемые в (10) имеют заметную величину лишь при вычислениях поля в «ближней зоне».

### Интегральное уравнение для поверхностного тока

Распределение поверхностного тока вдоль координаты  $\zeta$  определяется формой элементов антенной системы, их относительным расположением и может изменяться за счет поля возбуждаемых антенной спиновых волн. При самосогласованном подходе распределение тока в антенну ищется с учетом перечисленных факторов. При несамосогласованном подходе распределение тока в антенну считается заданным и неизменным; например,  $j^*(\zeta) = 1$ , что соответствует однородному распределению тока по поверхности антennы.

Сформулируем уравнение для поверхностного тока в антенну, используя электродинамическое граничное условие на нормальную компоненту магнитного поля на поверхности идеального металла. Результирующее поле представим в виде суммы поля поверхностного тока и поля возбуждаемых антенной спиновых волн. Вычислим поле поверхностного тока.

Магнитное поле, создаваемое малым элементом поверхностного тока  $\Delta I$  на  $n$ -м электроде в точке поверхности  $m$ -го электрода с координатами  $\xi_0, \zeta_0$  (рис. 2), в магнитостатическом приближении равно

$$h_i^I = \frac{1}{\pi} j(\zeta_i) \Delta I_n \left[ (\zeta_i - \zeta_0)^2 + (\xi_i - \xi_0)^2 \right]^{-1/2}. \quad (12)$$

Оно направлено по нормали к прямой, соединяющей точки наблюдения и источника (рис. 2). Проектируя поле (12) на нормаль к поверхности антennы в точке  $\xi_i, \zeta_i$ , получим

$$h_{\perp i}^I = \frac{1}{\pi} j(\zeta_i) \frac{(\zeta_i - \zeta_0) \Delta \zeta_n}{(\zeta_i - \zeta_0)^2 + (\xi_i - \xi_0)^2} \left\{ \frac{1 + \left[ \frac{\Delta f(\zeta_i)}{\Delta \zeta_n} \right]^2}{1 + \left[ \frac{df(\zeta_0)}{d\zeta_0} \right]^2} \right\}^{1/2}. \quad (13)$$

Суммируя вклады в  $h_{\perp i}^I$  от элементарных токов по всей антенной системе, переходя к интегрированию по координате  $\zeta$  и устремляя  $\Delta \zeta_n \rightarrow 0$ , получим

$$h_{\perp}^I(\zeta_0) = \frac{1}{\pi} \int_{-\infty}^{\infty} j(\zeta) \frac{(\zeta - \zeta_0)}{(\zeta - \zeta_0)^2 + [f(\zeta) - f(\zeta_0)]^2} \left\{ \frac{1 + \left[ \frac{df(\zeta)}{d\zeta} \right]^2}{1 + \left[ \frac{df(\zeta_0)}{d\zeta_0} \right]^2} \right\}^{1/2} d\zeta.. \quad (14)$$

Нормальную к поверхности электродов компоненту магнитного поля спиновой волны  $h_{\perp}^m(\xi, \zeta)$  определим, используя результаты предыдущего раздела (соотношения (10), (11)),

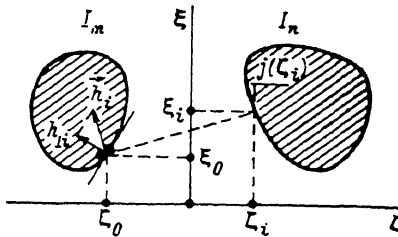


Рис. 2. К расчету поля поверхностного тока в антенну.

$$h_{\perp}^m(\xi_0, \zeta_0) = \left\{ 1 + \left[ \frac{df(\zeta_0)}{d\xi_0} \right]^2 \right\}^{-1/2} \times \left[ h_{\xi}^m(\xi_0, \zeta_0) + \frac{df(\zeta_0)}{d\xi_0} h_{\zeta}^m(\xi_0, \zeta_0) \right]. \quad (15)$$

В соотношении (10) пренебрежем реактивными полями, обусловленными «комплексными полюсами». Как показывают оценки, при  $j^*(\zeta)=1$  эти поля на два порядка меньше поля поверхности тока (14). При расчете  $h_{\perp}^m$  можно сделать еще одно приближение. Реактивное поле, описываемое последними двумя слагаемыми в (9), имеет локальный характер. Иными словами, реактивно магнитное поле парциальной волны, возбуждаемой  $n$ -м электродом, имеет заметную величину только под самим же  $n$ -м электродом. Однако коль скоро его влиянием на распределение поверхности тока в антенне можно пренебречь для микрополосковой антенны [3], то тем более это можно сделать в данном случае (за счет кривизны электродов появляется эффективный зазор, существенно ослабляющий реакцию магнитной среды). Удовлетворяя граничному условию на поверхности электродов антенны  $h_{\perp}^l + h_{\perp}^m = 0$ , приходим к интегральному уравнению

$$\begin{aligned} & \frac{1}{\pi} \int_{\mathcal{L}'} \mathcal{J}(z) K_0(z, z_0) dz + \\ & + \pi i \int_{\mathcal{L}_2'} \mathcal{J}(z) H_0^+(z, z_0) dz + \pi i \int_{\mathcal{L}_1'} \mathcal{J}(z) H_0^-(z, z_0) dz = 0, \end{aligned} \quad (16)$$

где

$$\begin{aligned} K_0(z, z_0) &= \frac{z - z_0}{(z - z_0)^2 + [f(z) - f(z_0)]^2}, \\ H_0^{\pm}(z, z_0) &= \frac{kL}{4\pi\omega V_g} F^2(\kappa) \Lambda^{\pm} \left[ 1 + i \frac{df(z_0)}{dz_0} \right] \exp \{ \kappa [i(z - z_0) - f(z)] \}, \\ \Lambda^{\pm}(k) &= -i \langle \mathbf{h} \hat{G}_h^{\pm}(\kappa) \rangle_{\xi} + \langle \mathbf{h} \hat{G}_h^{\pm}(\kappa) \rangle_{\zeta}. \end{aligned}$$

Знак «+» берется для  $\varphi = \varphi_0$ , а «-» — для  $\varphi = \varphi_0 + 180^\circ$ ,  $z = \zeta/(b_1 - a_1)$ ,  $\kappa = k(b_1 - a_1)$ . Контуры  $\mathcal{L}'$ ,  $\mathcal{L}_1'$ ,  $\mathcal{L}_2'$  соответствуют контурам  $\mathcal{L}$ ,  $\mathcal{L}_1$ ,  $\mathcal{L}_2$ , совокупности отрезков которых  $[a_n, b_n]$  нормированы на поперечный размер первого электрода, так что  $a'_n = a_n/(b_1 - a_1)$ ,  $b'_n = b_n/(b_1 - a_1)$ .

Соотношение (16) есть сингулярное интегральное уравнение. Первый его член описывает распределение поверхности тока в антенне в отсутствие ферромагнитной среды. Второй и третий члены учитывают поля спиновых волн, распространяющихся соответственно в положительном и в отрицательном направлениях оси  $\zeta$ . Преобразуем сингулярное ядро  $K_0(z, z_0)$  к виду, удобному для регуляризации интегрального уравнения (16). Представим  $K_0(z, z_0)$  в виде

$$K_0(z, z_0) = \frac{K_1(z_0, z_0)}{z - z_0} + \frac{K_1(z, z_0) - K_1(z_0, z_0)}{z - z_0}, \quad (17)$$

где

$$K_1(z, z_0) = \left\{ 1 + \left[ \frac{f(z) - f(z_0)}{z - z_0} \right]^2 \right\}^{-1/2},$$

причем

$$K_1(z_0, z_0) = \lim_{z \rightarrow z_0} K_1(z, z_0) = \left\{ 1 + \left[ \frac{df(z_0)}{dz_0} \right]^2 \right\}^{-1}.$$

С учетом (17) выражение (16) примет вид

$$\begin{aligned} & \frac{1}{\pi} \int_{\mathcal{L}'} \mathcal{J}(z) \frac{dz}{z - z_0} + \frac{1}{\pi} \int_{\mathcal{L}'} \mathcal{J}(z) K_2(z, z_0) dz + \\ & + \pi i \int_{\mathcal{L}_2'} \mathcal{J}(z) H_1^+(z, z_0) dz + \pi i \int_{\mathcal{L}_1'} \mathcal{J}(z) H_1^-(z, z_0) dz = 0, \end{aligned} \quad (18)$$

где

$$K_2(z, z_0) = K_1^{-1}(z_0, z_0) \frac{K_1(z, z_0) - K_1(z_0, z_0)}{z - z_0},$$

$$H_1^+(z, z_0) = H_0^\pm(z, z_0)/K_1(z_0, z_0).$$

Выполним регуляризацию интегрального уравнения (18), используя процедуру обращения интеграла типа Коши [10],

$$\begin{aligned} \mathcal{J}(z_0) &= S^{-1}(z_0) \left\{ Q_{N-1}(z_0) - \int_{\mathcal{L}'} \mathcal{J}(z) \int_{\mathcal{L}'} \frac{S(z_1)}{z_1 - z_0} K_2(z, z_1) dz_1 dz + \right. \\ &+ \left. \int_{\mathcal{L}} \frac{S(z)}{z_1 - z_0} \left[ \int_{\mathcal{L}_2(z_1)} \mathcal{J}(z) H_1^+(z, z_0) dz + \int_{\mathcal{L}_1(z_1)} \mathcal{J}(z) H_1^-(z, z_0) dz \right] dz_1 \right\}, \quad (19). \end{aligned}$$

где  $S(z) = \left[ \prod_{f=1}^N (z - a_f')(b_f' - z) \right]^{1/2}$ ,  $Q_{N-1}(z_0)$  есть алгебраический полином степени не выше  $N-1$ . Его коэффициенты определяются из условий на величину и направление полного тока на входе электродов антенной системы  $I$ .

Интегральное уравнение (19) удобно решать методом последовательных приближений. Такое решение есть стандартная процедура (см., например, [9]), и проводится для  $f(\zeta)$  конкретного вида.

### Импеданс антенной системы

Для расчета эффективности преобразования подводимой к антенне сверхвысокочастотной мощности необходимо знать импеданс антенной системы. В теории возбуждения спиновых волн микрополосковыми антеннами обычно предполагается, что волновой процесс в антенне описывается теорией длинных линий [1]. Такое приближение находит хорошее экспериментальное подтверждение [11, 12]. Используя аналогичное приближение, рассчитаем погонный импеданс антенны (рис. 1). Для этого воспользуемся методом наведенных электродов вящих сил [8]. Применительно к расчету импеданса антенн спиновых волн метод наведенных ЭДС дает [13]

$$Z_a = \int_{\mathcal{L}_s} [j^*(\zeta)]^* E_\eta(\xi, \zeta) dl, \quad (20)$$

где контур  $\mathcal{L}_s$  образован совокупностью контуров, охватывающих электроды антенной системы;  $E_\eta$  — есть  $\eta$ -компоненты электрического поля спиновой волны.

Перейдем в (20) от интегрирования по контуру  $\mathcal{L}_s$  к интегрированию по контуру  $\mathcal{L}$ , образованному отрезками  $[a_n, b_n]$  на оси  $\zeta$ . Рассматривая малый элемент  $\Delta l$  контура  $\mathcal{L}_s$ , как это было при выводе (3), и переходя к пределу  $dl_s \rightarrow 0$ , получим

$$Z_a = \int_{\mathcal{L}} j^*(\zeta) \left\{ 1 + \left[ \frac{df(\zeta)}{d\xi} \right]^2 \right\}^{1/2} E_\eta(\xi, \zeta) d\xi. \quad (21)$$

Для вычисления  $E_\eta(\zeta)$  воспользуемся уравнением Максвелла  $\text{rot } \mathbf{E} = i\omega\mu_0(\mathbf{h} + \mathbf{m})$ . Непосредственно из него следует, что

$$E_\eta(\zeta) = -\frac{\omega\mu_0}{k} [h_\xi(\zeta) + m_\xi(\zeta)]. \quad (22)$$

Теперь, используя (21), (22), (11), (10), можно рассчитать погонный импеданс антенны. При вычислении импеданса пренебрежем реактивными полями, обусловленными комплексными полюсами. Оценки показали, что их вклад в импеданс носит чисто реактивный характер и может иметь заметную величину только в очень толстых пленках ( $L \gg b_n - a_n$ ). Однако даже в этом случае вклад в импеданс, обусловленный реактивными полями «комплексных полюсов»,

более чем на порядок меньше вклада последних двух слагаемых в (10). Выполненная элементарные операции подстановки и интегрирования для парциальных импедансов, обусловленных волнами, излучаемыми в направлениях  $\pm\zeta$ , получим

$$Z_{ii}^{\{\pm\}} = \frac{\omega\mu_0}{8} \frac{L}{\omega V_o} F^2(k) \Lambda^{\{\pm\}}[(k) \int_{\mathcal{Z}} \int_{\mathcal{Z}_{\{2\}}} \mathcal{J}^*(\zeta_0) \mathcal{J}(\zeta) e^{ik[\epsilon(\zeta_0-\zeta)-f(\zeta)-f(\zeta_0)]} d\zeta_0 d\zeta + \\ + \frac{\omega\mu_0}{8\pi} F(k) \int_{\mathcal{Z}} \left[ \int_0^{\infty} \int_{\mathcal{Z}_1} Y(\zeta_0, \zeta; k) d\zeta_0 dk - \int_0^0 \int_{\mathcal{Z}_1} Y(\zeta_0, \zeta; k) d\zeta_0 dk \right] d\zeta, \quad (23)$$

где

$$Y = -\mathcal{J}^*(\zeta_0) \mathcal{J}(\zeta) \frac{\Lambda^{\{\pm\}}(ik) F(ik)}{\omega^2(ik) - \omega^2} L e^{ik[\epsilon(\zeta_0-\zeta)-f(\zeta)-f(\zeta_0)]}.$$

Полный импеданс излучения  $Z_a$  есть сумма импедансов, обусловленных волнами, излучаемыми в положительном и отрицательном направлениях оси  $\zeta$ :

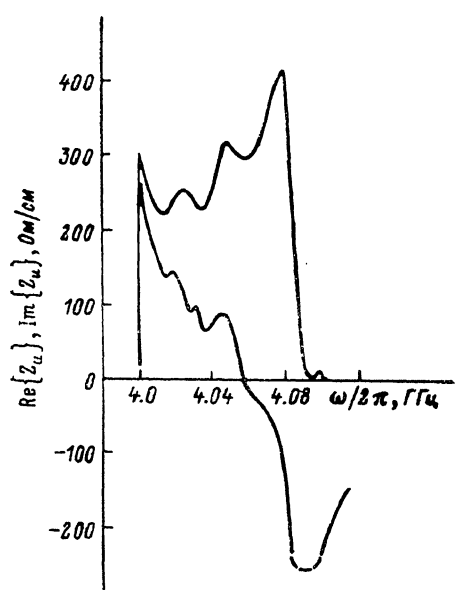


Рис. 3. Частотные зависимости составляющих импеданса излучения 13-электродной антенной системы профиля (24).

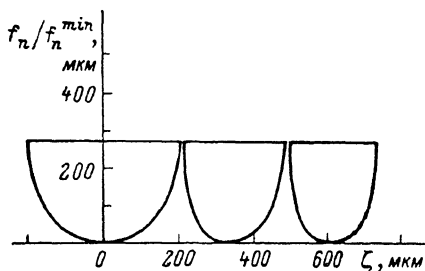


Рис. 4. Профиль трех электродов антенной системы, формирующей прямоугольную АЧХ, рассчитанный по (24).

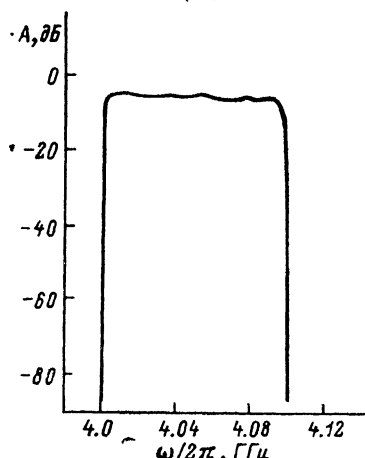


Рис. 5. АЧХ спин-волнового устройства на основе антенных систем профиля (24).

$Z_a = Z_{ii}^+ + Z_{ii}^-$ , причем  $Z_{ii}^+$  вычисляется при  $\varphi = \varphi_0$ , а  $Z_{ii}^-$  — при  $\varphi = \varphi + 180^\circ$ . Обычными методами численного интегрирования можно рассчитать как действительную, так и мнимую составляющие импеданса излучения (23). Заметим, что первое слагаемое в (23) содержит действительную и мнимую составляющие (они легко разделяются), а последние два слагаемые в (23) в сумме дают чисто мнимую величину.

### Численные результаты

В качестве примера реализации преимуществ антенных систем криволинейного профиля при формировании прямоугольной амплитудно-частотной ха-

рактеристики (АЧХ) выполним расчет устройства на основе антенных систем, профиль поперечного сечения которых описывается функцией

$$f(\zeta) = \frac{1}{k_r} \ln \left| \frac{1 + (k_r \zeta)^2}{\cos k_r \zeta + k_r \zeta \sin k_r \zeta - 0.37} \right|. \quad (24)$$

Анализ показал, что антенная система профиля (24) формирует АЧХ, близкую к прямоугольной, причем верхняя граница эффективно возбуждаемых волновых чисел расположена вблизи  $k=k_r$ .

Под знаком модуля в (24) стоит знакопеременная функция и ее знак соответствует направлению (вдоль оси  $\eta$ ) полного тока в электроде, а смена знака определяет границы электрода. Модуль тока в  $n$ -м электроде равен  $|I_n| = I' \exp(k_r f_n^{\min})$ , где  $f_n^{\min}$  — минимумы функции  $f(\zeta)$ , а  $I'$  — ток на входе центрального электрода. На рис. 3 приведены результаты расчета (в режиме заданного тока) импеданса излучения  $\text{Re}\{Z_u\}$ ,  $\text{Im}\{Z_u\}$  при возбуждении поверхностных спиновых волн 13-электродной антенной в ферромагнитной пленке толщиной  $L=5$  мкм и  $\omega_B=2.24$  ГГц,  $\omega_M=4.9$  ГГц. Профили трех электродов антенны (она симметрична относительно  $\zeta=0$ ) представлены на рис. 4 ( $k_r=130$  см $^{-1}$ ). На рис. 5 показана АЧХ спин-волнового устройства, использующего такие антенны. Расчет проводился по методике, изложенной в [1, 11]. При расчете принято, что ширина линии ферромагнитного резонанса 0.5 Э, расстояние между приемной и возбуждающей антеннами 6 мм, длина антенн (вдоль оси  $\eta$ ) 8 мм.

### Список литературы

- [1] Ganguly A. K., Webb D. C. // IEEE Trans. MTT-23. 1975. Vol. 23. N 12. P. 998—1006.
- [2] Гилинский И. А., Щеглов И. М. // ЖТФ. 1985. Т. 55. Вып. 12. С. 2323—2332.
- [3] Дмитриев В. Ф., Калиникос Б. А. // РИЭ. 1988. Т. 33. № 11. С. 2422—2428.
- [4] Sethares J. C., Weinberg I. J. // J. Appl. Phys. 1979. Vol. 50. N 3. P. 2458—2460.
- [5] Дмитриев В. Ф., Калиникос Б. А. // ЖТФ. 1989. Т. 59. Вып. 1. С. 197—200.
- [6] Калиникос Б. А. // ЖТФ. 1984. Т. 54. Вып. 9. С. 1846—1849.
- [7] Дмитриев В. Ф., Калиникос Б. А. // Изв. вузов. Физика. 1988. Т. 31. № 11. С. 24—53.
- [8] Марков Г. Т., Чаплин А. Ф. Возбуждение электромагнитных волн. М.: Радио и связь, 1983. 296 с.
- [9] Морс Ф. М., Фешбах Г. Методы теоретической физики. М.: ИЛ, 1960. 820 с.
- [10] Мусхелишвили Н. И. Сингулярные интегральные уравнения. М.: Наука, 1968. 512 с.
- [11] Дмитриев В. Ф., Калиникос Б. А., Ковшиков Н. Г. // ЖТФ. 1986. Т. 56. Вып. 11. С. 2169—2177.
- [12] Сорокин В. Г., Богун П. В., Кандыба П. Е. // ЖТФ. 1986. Т. 56. Вып. 12. С. 2377—2382.
- [13] Дмитриев В. Ф. // Письма в ЖТФ. 1988. Т. 14. Вып. 21. С. 1898—1994.

Ленинградский электротехнический  
институт им. В. И. Ульянова (Ленина)

Поступило в Редакцию  
6 февраля 1989 г.